

Письма в ЖТФ, том 18, вып. 4

26 февраля 1992 г.

01; 02

© 1992

## СВЯЗЬ ФОРМЫ СПЕКТРА УГЛОВОЙ КОРРЕЛЯЦИИ АННИГИЛИОННЫХ ФОТОНОВ С ИМПУЛЬСНЫМ РАСПРЕДЕЛЕНИЕМ ЭЛЕКТРОН-ПОЗИТРОННЫХ ПАР

А.С. Б а л т е н к о в, Г.И. Ж у р а в л е в а

Известно, что одним из основных каналов аннигиляции позитронов в конденсированных средах является распад на два кванта. Измерение углового распределения аннигиляционных фотонов используется для определения параметров импульсного распределения центров инерции аннигилирующих пар (или электронов среды, если скоростью позитронов в момент аннигиляции можно пренебречь) [1].

Обычная схема измерения кривых угловой корреляции аннигиляционных фотонов показана на рис. 1. В этой схеме  $\gamma$ -кванты регистрируются двумя линейными детекторами А и В,ключенными в схему совпадений. Детектор В неподвижен и лежит в плоскости XY. Детектор А, стоящий, как и В, от источника  $\gamma$ -квантов на расстоянии  $L$ , может перемещаться, оставаясь параллельным самому себе. Кривая скорости счета совпадений  $I(\alpha)$  снимается как функция угла  $\alpha$ . Анализ экспериментальных спектров угловой корреляции производится обычно с помощью формулы [2-4]

$$I(\alpha) \sim \iint N(\vec{V}) dV_x dV_y, \quad (1)$$

в которой  $N(\vec{V})$  – плотность распределения по скоростям  $\vec{V}$  центров инерции аннигилирующих пар.

Несложно убедиться в том, что формула (1) некорректна. Для доказательства этого рассмотрим распад в два точечных детектора А' и В', положение которых в пространстве определено векторами

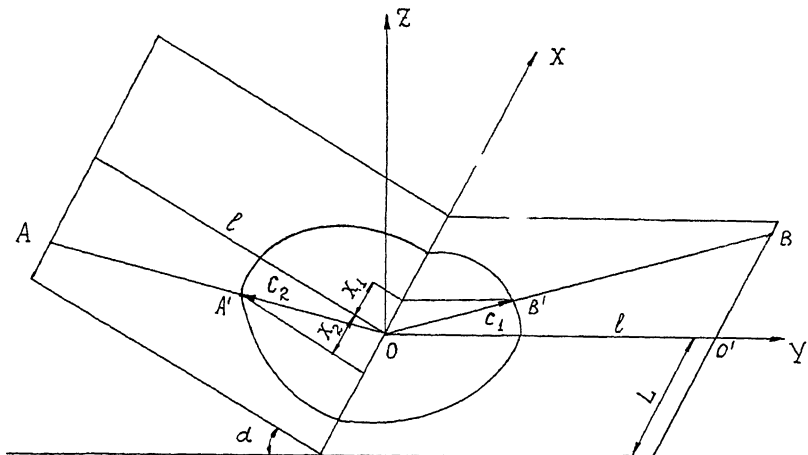


Рис. 1. Схема измерения кривых угловой корреляции.

$\vec{C}_1$  и  $\vec{C}_2$  (рис. 2). Попадание квантов в эти детекторы возможно при выполнении двух условий: условия компланарности векторов

$$([\vec{C}_1 \times \vec{C}_2] \cdot \vec{V}) = 0 \quad (2)$$

и условия постоянства проекции вектора  $\vec{V}$  на биссектрису угла разлета квантов [3]

$$V \cos \frac{\theta_1 - \theta_2}{2} = \cos \frac{\theta_1 + \theta_2}{2}. \quad (3)$$

Здесь и далее используется система единиц, в которой скорость света  $C=1$ . Соотношения (2) и (3) оставляют независимой только одну компоненту скорости пары. Интегрирование по этой компоненте дает число  $\gamma$ -совпадений в точках A и B. Полное число квантов, регистрируемых линейными детекторами, есть сумма вкладов всех возможных плоскостей распада. Следовательно,  $I(\alpha)$  должно определяться не двухкратным, а трехкратным интегралом: по одной из компонент скорости пары и по длинам детекторов A и B.

В настоящей работе мы получим корректные соотношения, связывающие скорость счета  $\gamma$ -совпадений с плотностью распределения электрон-позитронных пар по скоростям. Прежде чем перейти к выводу этих соотношений, получим формулу (3). В системе центра инерции аннигилирующей пары  $\gamma$ -кванты разлетаются во взаимно противоположных направлениях со скоростями  $\vec{C}_1'$  и  $\vec{C}_2'$  (рис. 2). Отклонение этих векторов в положения  $\vec{C}_1$  и  $\vec{C}_2$  соответственно в лабораторной системе отсчета обусловлено движением

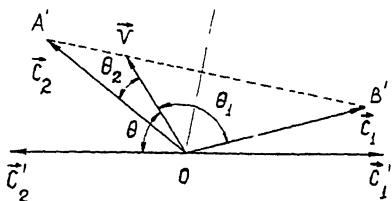


Рис. 2. Геометрия разлета аннигиляционных квантов.

со скоростью  $\vec{V}$  в этой системе источника излучения – аннигилирующей электрон–позитронной пары. Подставляя в (3) формулы, описывающие aberrацию света [5],

$$\cos\theta_1 = \frac{\cos\theta + V}{1 + V\cos\theta}; \quad \cos\theta_2 = \frac{-\cos\theta + V}{1 - V\cos\theta}, \quad (4)$$

убедимся в справедливости соотношения (3). Таким образом, аннигиляционный распад на угол  $\theta_1 + \theta_2$  возможен только в тех случаях, когда конец вектора  $\vec{V}$  лежит на прямой, соединяющей концы векторов  $C_1$  и  $C_2$ . Очевидно, что эти скорости  $\vec{V}$  удовлетворяют уравнениям (2) и (3). Анализ 2  $\gamma$ -распада в схеме одномерной угловой корреляции сводится теперь к рассмотрению всех возможных плоскостей распада. Предположим, что аннигиляционные кванты пересекают детекторы в точках А и В. (рис. 1). Отложим на лучах ОА и ОВ единичные отрезки ОА' и ОВ'. Координаты точек А' и В' на рис. 1 следующие: А' ( $x_2, -\sqrt{1-x_2^2}\cos\alpha, \sqrt{1-x_2^2}\sin\alpha$ ) и В' ( $x_1, \sqrt{1-x_1^2}, 0$ ). Декартовы компоненты скоростей пар  $\vec{V}$  ( $V_x, V_y, V_z$ ), концы векторов которых лежат на А'В', связаны между собой уравнениями

$$V_x = \frac{\sqrt{1-x_1^2} - V_y}{\sqrt{1-x_1^2} + \sqrt{1-x_2^2}\cos\alpha} (x_2 - x_1) + x_1 \equiv V_x^o, \\ V_z = \frac{\sqrt{1-x_1^2} - V_y}{\sqrt{1-x_1^2} + \sqrt{1-x_2^2}\cos\alpha} \sqrt{1-x_2^2} \sin\alpha \equiv V_z^o, \quad (5)$$

в которых единственная независимая компонента скорости  $V_y$  лежит в интервале  $-\sqrt{1-x_1^2}\cos\alpha \leq V_y \leq \sqrt{1-x_1^2}$ . Только пары с компонентами скоростей  $V_x^o, V_y, V_z^o$  имеют ненулевую вероятность распасться на угол АОВ.

Пусть  $N(\vec{V})d\vec{V}$  – нормированная на единицу функция распределения по скоростям аннигилирующих электрон–позитронных пар. Тогда

$$n(V_y)dV_y = \iint N(\vec{V})\delta(V_x - V_x^o)\delta(V_z - V_z^o)d\vec{V} \quad (6)$$

представляет собой вероятность существования искомых пар, удовлетворяющих условиям (5). Скорость счета  $\gamma$ -совпадений в окрестности точек А и В детекторов определяется выражением

$$I(x_1, x_2, \alpha) \sim \int n(V_y) W(V_y, \theta_1) dV_y, \quad (7)$$

$$-(1-x_2^2)^{1/2} \cos \alpha$$

в котором  $W(V_y, \theta_1)$  – вероятность попадания одного из аннигиляционных фотонов в телесный угол  $d\Omega_1$ , под которым виден из точки О элемент детектора В. В системе центра инерции пары аннигиляционные фотонны распределены изотропно. В лабораторной системе отсчета их распределение по углам определяется выражением [5]

$$W(V_y, \theta_1) = \frac{d\Omega_1}{4\pi} \frac{1-V^2}{(1-V \cos \theta_1)^2}. \quad (8)$$

В (8)  $V^2 = V_x^2 + V_y^2 + V_z^2$ , а  $\theta_1$  – угол между вектором  $\vec{V}$  и лучем ОВ (рис. 2).

В твердых телах характерные кинетические энергии аннигилирующих пар  $\varepsilon$  не превосходят десятков эВ, следовательно,

$V \sim \sqrt{\varepsilon} \ll 1$  ( $m$  – масса покоя электрона). В этом случае, с большой точностью  $W(V_y, \theta_1)$  в (7) и (8) можно заменить на  $d\Omega_1/4\pi = d\varphi dx_1/4\pi$  ( $2d\varphi$  – ширина щели детектора).

Интегрируя (7) по длинам щелей детекторов, получаем вместо формулы Стюарта (1) следующее искомое выражение, связывающее скорость счета в схема одномерной угловой корреляции с плотностью импульсного распределения:

$$I(\alpha) \sim \int_{-x_0}^{x_0} dx_1 \int_{-x_0}^{x_0} dx_2 \int_{-(1-x_2^2)^{1/2}}^{(1-x_1^2)^{1/2}} n(V_y) dV_y, \quad (9)$$

$$\cos \alpha$$

где  $x_0 = L \cdot (L^2 + l^2)^{-1/2}$ , а  $L$  – половина длины детектора.

Ограничавшись случаем предельно малых длин детекторов ( $x_0 \ll 1$ ;  $x_1 = x_2 = 0$ ), рассчитаем с помощью формулы (9) скорость света для фремиевского распределения по скоростям центров инерции аннигилирующих пар:

$$N(\vec{V}) = \begin{cases} 1, & \text{при } V_x^2 + V_y^2 + V_z^2 \leq V_F^2 \\ 0, & \text{при } V_x^2 + V_y^2 + V_z^2 > V_F^2 \end{cases} \quad (10)$$

Подставляя в (10) компоненты скоростей из (5), получим следующее неравенство, определяющее область изменения  $V_y$ , в котором  $n(V_y)$  отлична от нуля:

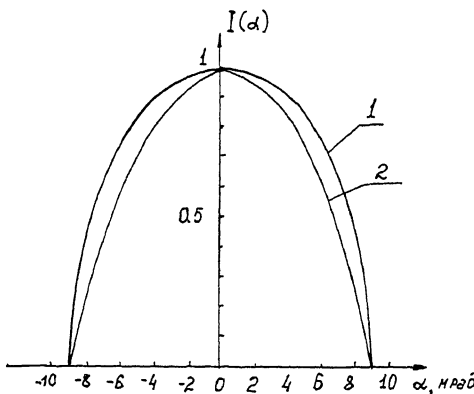


Рис. 3. Кривые угловой корреляции для  $\varepsilon_F = m V_F^2 = 10$  эВ.

1 – расчет по формуле (12); 2 – расчет по формуле (13).

$$V_y^2 - 2V_y \sin^2 \frac{\alpha}{2} + \left( \sin^2 \frac{\alpha}{2} - V_F^2 \cos^2 \frac{\alpha}{2} \right) \leq 0. \quad (11)$$

Корни многочлена (11)  $V_y^{\pm} = \sin^2 \frac{\alpha}{2} \pm \cos \frac{\alpha}{2} \left( V_F^2 - \sin^2 \frac{\alpha}{2} \right)^{1/2}$  – есть по сути координаты точек пересечения сферы (10) с годографом скоростей  $A'B'$ . Интегрируя (9) в интервале  $V_y^- \leq V_y \leq V_y^+$ , получим для скорости счета  $\gamma$ -совпадений (в обычных единицах)

$$I(\alpha) \sim \frac{C}{V_F} \cos \frac{\alpha}{2} \left( \frac{V_F^2}{C^2} - \sin^2 \frac{\alpha}{2} \right)^{1/2}. \quad (12)$$

На рис. 3 приведены расчеты по формуле (12). Там же для сравнения изображены стюартовские параболические кривые угловой корреляции [6]

$$I_{St}(\alpha) \sim \frac{C^2}{V_F^2} \left( \frac{V_F^2}{C^2} - \frac{\alpha^2}{4} \right). \quad (13)$$

Как видно из рис. 3, отличия довольно значительные.

Формула (2) может использоваться и для неизотропных функций  $N(V)$ . Поскольку интегралы по годографам скоростей  $A'B'$  в верхнем полупространстве ( $\alpha > 0$ ) и в нижнем ( $\alpha < 0$ ), вообще говоря, различные, кривые  $I(\alpha)$  могут быть несимметричными. Пример такой асимметрии рассматривался в статье [7], где было показано, что аннигиляция позитронов с электронами ориентированных краевых дислокаций в полупроводниках характеризуется спектром  $I(\alpha) \neq I(-\alpha)$ .

Авторы глубоко признательны И.С. Битенскому и С.В. Шевелеву за полезные обсуждения.

## Список литературы

- [1] Гольданский В.И. Физическая химия позитрона и позитрония. М.: Наука, 1968. 174 с.
- [2] Ferrel R. // Rev. Mod. Phys. 1956. V. 28. N 3. P. 308-337.
- [3] Stewart A. // Can. J. Phys. 1957. V. 35. P. 168-183.
- [4] Schrader D.M., Jean Y.C. Positron and Positronium Chemistry Elsevier Science Publishers B.V., 1988. 395 p.
- [5] Ландau Л.Д., Лифшиц Е.М. Теория поля. М.: Наука, 1973. 504 с.
- [6] Berkoo S., Hertford F.L. // Rev. Mod. Phys. 1956. V. 28. N 3. P. 299-307.
- [7] Балтеников А.С., Гиллерсон В.Б. // ФТП. 1985. Т. 19. № 4. С. 651-655.

Институт электроники  
АН Узбекистана,  
Ташкент

Поступило в Редакцию  
13 сентября 1991 г.  
В окончательной редакции  
22 января 1992 г.